

Méret által kontrollált termikus energiaterjedés vékony szilícium rétegekben

Gambár Katalin

Óbudai Egyetem, Kandó Kálmán Villamosmérnöki Kar, Mikroelektronikai és Technológia Intézet, Budapest, Tavaszmező utca 17., Magyarország

gambar.katalin@kvk.uni-obuda.hu

A nanoeszközök működése szempontjából, pl. hőfejlődés és hűtés, megkérdőjelezhetetlen fontossága van a vékony filmekbeli termikus energiateranszport megértésének. Kísérleti megfigyelések és elméleti megfontolások igazolják, hogy vékony rétegekben a termikus energiaterjedés különbözik a Fourier-törvény által leírttól. Mivel a termikus energiahordozók átlagos szabad úthossza összemérhető a minta méretével – szélességével -, így mind a vezetési tartomány geometriai méretének csökkenése mind a falhatásoknak kifejezett hozzájárulásuk van a transzportfolyamathoz. Statisztikus fizikai vizsgálatok megerősítik, hogy Tzou eredeti ötletén alapuló Anderson és Tamma által javasolt kettős fáziskésésű egyenlet a tartománybeli termikus transzport leírására perspektivikus lehet a Fourier-egyenlet helyett. Chen, később Anderson és Tamma, falhatásokra vonatkozó vizsgálatai (fononok szóródása és visszaverődése) javasolják a tehetetlenség és a termikus ellenállás bevetelét. a határfelületi egyenletekbe. A fluktuáció-disszipáció elmélet segítségével (a spektrum és a korrelációs függvény kiszámolásával) a jelterjedés módjai kifejezhetők a leíró egyenletekből. Ily módon felismerhető, hogy a méret- és falhatások miként változtatják meg a dinamikát. Ez azt jelenti, hogy a terjedés lehet diffúzív vagy ballisztikus attól függően, hogy milyenek a tartomány és a határoló felületet megadó paraméter sereg. A diffúzív és ballisztikus viselkedés között pedig beazonosítható a dinamikaváltás.

Keywords: nanoskála, hőtranszport, fluktuáció-disszipáció elmélet

1 Bevezetés

Mind a kísérleti megfigyelések [1-3], mind az numerikus számolási eredmények [4-6] egyaránt az sugallják, hogy a nanoskálájú transzportok leírásához új matematikai modell szükséges. A mintaméret csökkenésével a diffúzív transzporton túl megjelenik a ballisztikus terjedés. Így teljesen nyilvánvalónak tűnik a helyes modellben, hogy a méret és a határoló felületek hatását egyaránt figyelembe kell venni [7-12]. Jelen munkában a termikus tehetetlenségi hatásokat a Tzou [13-15] majd később Andreson és Tamma által javasolt kettős fáziskésésű egyenlettel fogalmazzuk meg [16]. Ezek vezető egyenlete a fononok statisztikáját figyelembe vevő Boltzmann-féle transzportegyenleten nyugszik. Ezt a modellkeretetet elfogadjuk és a releváns fizikai fizikai egyenletekhez a méret és határfeltételeket figyelembe vesszük. A terjedési módusok hullámszám-frekvencia spektrumainak meghatározásához alkalmazzuk a fluktuáció-disszipáció elméletet, majd a spektrumok ismeretében a korrelációs függvényeket kiszámoljuk. Ezekből a terjedési mechanizmusokra következtetni tudunk.

2 A matematikai modell

2.1 Dinamikai egyenletek, mérethatások és határfeltételek

A nanorétegekbeli termikus energiaterjedés tanulmányozásához meg kell fogalmazni a leíró fizikai egyenleteket. A belsőenergia megmaradását a

$$\rho c_v \frac{\partial T}{\partial t} + \frac{\partial q}{\partial x} = 0 \quad (1)$$

egyenlet fejezi ki, amelyben T a hőmérséklet, q a hőfluxus x komponense, ρ a tömegsűrűség valamint c_v a fajhő. Az általánosított konstitutív egyenlet az Anderson-Tamma modellből [16] származtatható

$$q + \tau \frac{\partial q}{\partial t} = K \left[\frac{\partial T}{\partial x} + \tau \frac{K_F}{K} \frac{\partial}{\partial t} \left(\frac{\partial T}{\partial x} \right) \right], \quad (2)$$

amely magában foglalja a tehetetlenségi effektusokat. Itt τ a tehetetlenséggel kapcsolatos relaxációs idő, K a közeg hővezetési együtthatója. A K_F együttható pedig egy, a hővezetés folyamatához kötődő további vezetési együttható. A kísérleti eredmények [17,18] mutatják, valamint Alvarez and Jou [19] tanulmányai – azaz, hogy a fononok átlagos szabad úthosszai miként befolyásolják a transzportot – matematikailag igazolják a K és a K_F vezetési együtthatók vékony rétegekre (filmekre) vonatkozó vastagságfüggését:

$$K(\{Kn\}) = \frac{K}{2\pi^2\{Kn\}^2} \left[\sqrt{1 + 4\pi^2\{Kn\}^2} - 1 \right], \quad (3)$$

$$K_F(\{Kn\}) = \frac{K_F}{2\pi^2\{Kn\}^2} \left[\sqrt{1 + 4\pi^2\{Kn\}^2} - 1 \right]. \quad (4)$$

A kifejezésekben $\{Kn\}$ a Knudsen-szám, amely a fononok átlagos szabad úthosszának és az L rétegvastagságnak a hányadosa:

$$\{Kn\} = \frac{l}{L}. \quad (5)$$

A fenti, L -től függő, vezetési együtthatók nagy mintavastagság esetében, $L \rightarrow \infty$, átmennek a mindenirányban kiterjedt test vezetési együtthatójába. Meg kell említsük, hogy a vezetési együtthatók méretfüggő volta ellenére a rétegvastagság mégsincs teljes körűen figyelembe véve, mert a falhatások explicit módon nem jelennek meg. A fononok határfelületen történő visszaverődésére és szórására [4,20] vonatkozó elemzések az alábbi egyenletre vezetnek

$$\tau_b \frac{\partial T}{\partial t} + T = T_h - qR, \quad (6)$$

ahol a τ_b együttható a falon történő hőmérsékletrelaxáció jelenségéhez tartozik. Így a mérhető fluktuáló T_h falhőmérsékletet egy rétegekből származó visszahatás módosítja. A $-qR$ tag a felületi termikus ellenállást írja le, ahol R a hatásra jellemző paraméter. A kontakt termikus ellenállás létrejötté kísérletileg igazolt jelenség [21].

2.2 Változótranszformációk

A terjedési módusok vizsgálatának egy lehetséges vizsgálati technikája az időkorrelációs függvényeken keresztül történik. Ehhez először az $S(k, \omega)$ hullámszám-frekvencia spektrumot kell kiszámolni, majd ezt követően ennek inverz Fourier-transzformációja adja a $C(k, t)$ időkorrelációs függvényt. A matematikai eljárásban célszerű dimenziótlan változókat, változótranszformációval bevezetni [22-24]. A T_0 referencia hőmérséklet bevezetésével a T hőmérséklet helyett az

$$a_1 = \frac{T}{T_0}, \quad (7)$$

a q hőáram helyett az

$$a_2 = \left(\frac{\tau}{T_0^2 K_Q C_v} \right)^{1/2} q, \quad (8)$$

valamint a T_h fluktuáló falhőmérséklet helyett az

$$a_3 = \frac{T_h}{T_0} \quad (9)$$

Mennyiségeket bevezetni. A fizikai egyenletek újrafogalmazhatóak ezekkel a változókkal, azaz ez (1) egyenletbeli energiamérleg

$$\frac{\partial a_1}{\partial t} + \left(\frac{K(\{Kn\})}{\rho c_v \tau} \right)^{1/2} \frac{\partial a_2}{\partial x} = 0, \quad (10)$$

a (2) egyenletbeli konstitutív egyenlet

$$\frac{1}{\tau} a_2 + \frac{\partial a_2}{\partial t} = - \left(\frac{K(\{Kn\})}{\rho c_v \tau} \right)^{1/2} \left[\frac{\partial a_1}{\partial x} + \tau \frac{K_F(\{Kn\})}{K(\{Kn\})} \frac{\partial}{\partial t} \left(\frac{\partial a_1}{\partial x} \right) \right], \quad (11)$$

valamint a (6) egyenletbeli határfelületi hatás

$$\tau_b T_0 \frac{\partial a_1}{\partial t} + T_0 a_1 = T_0 a_3 - \left(\frac{T_0^2 K(\{Kn\}) \rho c_v}{\tau} \right)^{1/2} Ra_2 \quad (12)$$

alakot ölti.

2.3 Spektrumok, korrelációs függvények

A fluktuáció-disszipáció elmélet alkalmazásához a (10) és (11) egyenleteket Fourier-transzformáljuk

$$\omega \hat{a}_1 + \left(\frac{K(\{Kn\})}{\rho c_v \tau} \right)^{1/2} k \hat{a}_2 = 0, \quad (13)$$

$$\hat{a}_2 + i\omega \tau \hat{a}_2 = - \left(\frac{K(\{Kn\}) \tau}{\rho c_v} \right)^{1/2} \left[ik \hat{a}_1 - \tau \frac{K_F(\{Kn\})}{K(\{Kn\})} \omega k \hat{a}_1 \right] + \hat{f}, \quad (14)$$

ahol \hat{a}_1 és \hat{a}_2 jelölik a Fourier-transzformált mennyiségeket, míg \hat{f} a fluxus gaussi sztochasztikus fluktuációját jelenti. E két egyenletből a spektrum

$$S(k, \omega) = \frac{K(\{Kn\}) k^2}{\left(\frac{K(\{Kn\})}{\rho c_v} k^2 - \tau \omega^2 \right)^2 + \left(1 + \tau \frac{K_F(\{Kn\})}{\rho c_v} k^2 \right)^2 \omega^2} \quad (15)$$

kiszámolható. A véges mintaméret a Knudsen-számon keresztül megjelenik, ennek ellenére a határfeltételek hatásai mégis hiányzanak.

A határfeltételek bevitelét úgy érjük el, hogy fél-Fourier-transzformáljuk (csak k hullámszámra) a (10) és (12) egyenleteket, majd ezt követően kell a kapott egyenletet Laplace-transzformálni. Az egyenletek megoldásával a határfelületek által kontrollált hullámszám-frekvencia spektrumhoz jutunk:

$$S_b(k, \omega) = \left[\left(1 + \sigma \tau_b - \rho c_v R \frac{\omega}{k} \right)^2 + \left(\tau_b \omega + \frac{\rho c_v R \sigma}{k} \right)^2 \right]$$

$$\times \frac{K(\{Kn\})k^2}{\left(\frac{K(\{Kn\})}{\rho c_v}k^2 - \tau\omega^2\right)^2 + \left(1 + \frac{\tau K_F(\{Kn\})}{\rho c_v}k^2\right)^2 \omega^2} \quad (16)$$

Az így kapott spektrum a rendszer dinamikai kritikus jelenségeit is tartalmazza. A (16) –ban a [...]–beli tényező ad egy extra hozzájárulást a nagyobb ω frekvenciákhoz. Ez nagyfrekvenciákra arányos ω^2 -tel, míg a második tényező ω^4 -nel csökken, így összességében nagyon nagy ω értékekre $S_b(k, \omega \rightarrow \infty) \rightarrow 0$, ahogy annak lennie is kell. Az $S_b(k, \omega)$ spektrum az $R = 0$ and $\tau_b = 0$ feltételeknél átmegy a "határfelület mentes" esetben vastag minták esetében.

A $C(k, t)$ időkorrelációs függvényhez az $S(k, \omega)$ spektrum inverz Fourier-transzformációjával jutunk:

$$C(k, t) = \frac{1}{\sqrt{2\pi}} \int_{-\infty}^{\infty} S(k, \omega) e^{i\omega t} d\omega. \quad (17)$$

A korrelációs függvények tanulmányozásával a különböző terjedési módusok osztályozhatók. Az elvégzett számolások és elemzések után kijelenthetjük, hogy az irodalom [4,19] javaslatának megfelelően a leszármaztatott formulák figyelembe veszik mind a rendszer jellemző méretét mind a határfeltételeket egyaránt.

3 A termikus energiaterjedés módusai

3.1 Spektrumok szerinti osztályozás

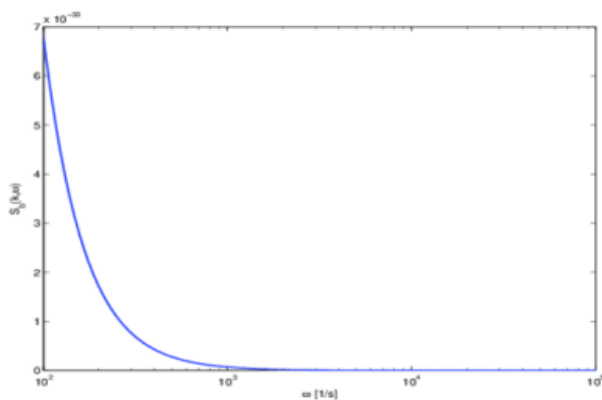
A numerikus számolásokban a szilícium adataival (1. Táblázat) számolunk, mert a legtöbb kísérleti megfigyelést e témában erre végezték el.

Mennyiség	Név	Kísérleti értékek
c	fajhő	710 J / kg·K
ρ	sűrűség	2230 kg/m ³
K	hővezetési együttható	149 W/m·K
K_F	Heat cond. retardation	10 W/m·K
τ	relaxációs idő	10 ⁻⁸ s
τ_b	határfelületi relaxációs idő	5·10 ⁻¹⁰ s
l	Fononok átlagos szabad úthossza	200·10 ⁻⁹ m
L	mintaszélesség	60·10 ⁻⁹ m

R	termikus kontakt ellenállás	$10^{-8} \cdot 10^{-6} \text{ m}^2\text{K/W}$
σ	Csillapítási tényező	10^{-8} 1/s

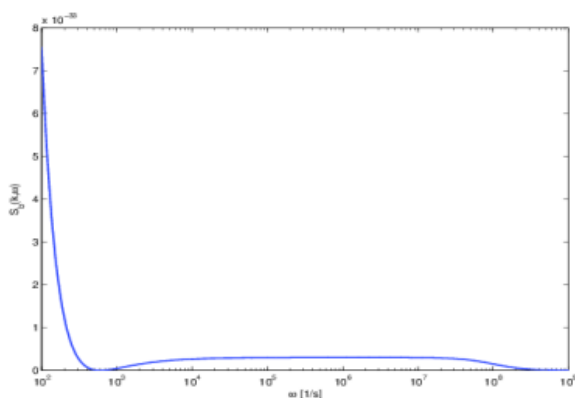
1. Táblázat A számolásban használt paraméterek értékei

E rövid tanulmányban bemutatjuk, hogy $k=1000 \text{ 1/m}$ hullámszám esetében az Anderson-Tamma modell spektruma egy termikus transzportbeli dinamikai fázisátmenet mutat nanoskálájú szilícium mintában. Az 1. ábra a határfeltételek nélküli diffúz terjedéshez tartozó spektrumot mutatja.



1. Ábra Az A-T modell határfeltételek nélküli spektruma $k = 1000 \text{ 1/m}$ hullámszám mellett

A határfeltételeket “bekapcsolva”, a 2. ábrán jól láthatóan, széles tartományban nagyfrekvenciás módusok jelennek meg.

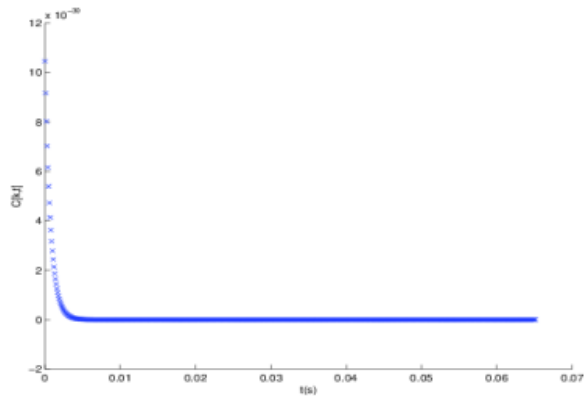


2. Ábra Az A-T modell határfeltételeket figyelembe vevő spektruma $k = 1000 \text{ 1/m}$ hullámszám mellett

Nyilvánvaló, hogy a nagyfrekvenciák megjelenése (az ezekhez tartozó időskála jellemzően $\sim 10^{-10}$) új transzport tulajdonságot jelent.

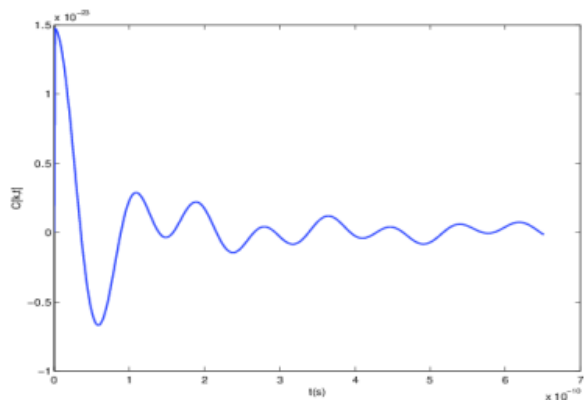
3.2 Korrelációs függvények szerinti osztályozás – dinamikai fázisátalakulás

Az 1. ábrán látható spektrumból a korrelációs függvényt kiszámolva egy monoton csökkenő görbe rajzolódik ki (3. ábra), amely a diffúz terjedést egyértelműsíti.



3. Ábra Az A-T modell határfeltételek nélküli korrelációs függvénye $k = 1000$ 1/m hullámszám mellett

Érdeemes figyelni a jellemző időskálára: $\sim 0,01$ s. Ezt követően elvégezzük a 2. ábrán látható spektrummal a korrelációs függvény kiszámolását. A kapott eredmény görbéjének az előzőtől való különbözősége nyilvánvaló a 4. ábrán. A megjelent oszcilláció ballisztikus terjedésre utal.

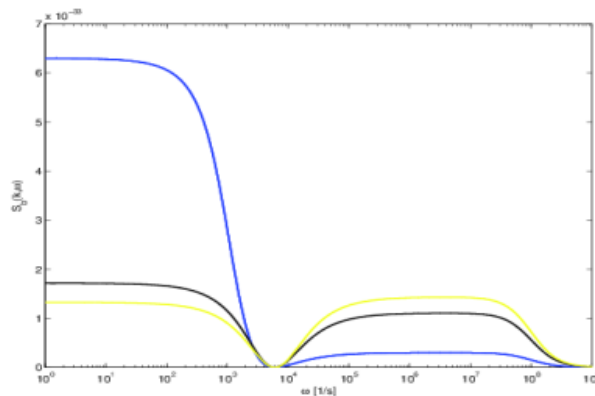


4. Ábra Az A-T modell határfeltételeket figyelembe vevő korrelációs függvénye $k = 1000$ 1/m hullámszám mellett

A jellemző időskála $\sim 10^{-10}$ s, amely megerősíti a pusztán vizuális különbséget.

3.3 Kis Knudsen-számok esete

A kis mintaméret, a határfüggő Anderson-Tamma modell biztosítja a termikus transzport ballisztikus jellegét. Ugyanakkor növekvő mintaméret esetén a megoldásoknak át kell menniük a kiterjedt testekre jellemző diffúz megoldásokba. Mivel a Knudsen-számot a fononok átlagos szabad úthosszának és a minta méretének hányadosával definiáltuk, azért ez az állítás ekvivalens a $Kn \rightarrow 0$ határátmenettel. Nagy mintákra a spektrum a várakozással ellentétesen viselkedik, ahogy az az 5. ábrán látható. A kiterjedt test felé növelve a mintát – szemben elvárásainkkal – a második platók egyre emelkednek, egyre dominánsabbá téve az oszcillációkhoz tartozó nagyfrekvenciákat [23].



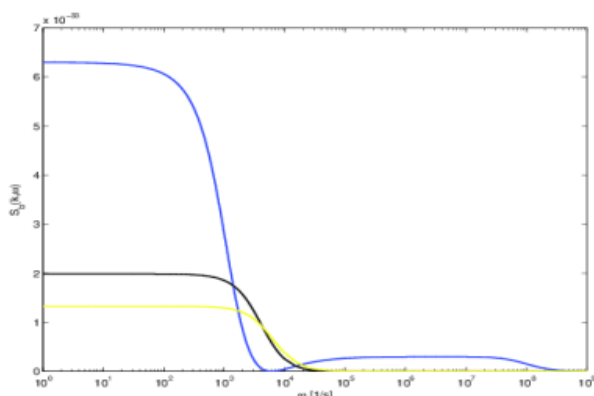
5. Ábra Spektrumok különböző mintaméreték esetén: 100 nm [kék], 400 nm [fekete] és 800 nm [sárga]

Ez azt jelenti, hogy a konstans értékű kontakt termikus ellenállás feltételezése nem lehet helyes.

A probléma lehetséges feloldását egy méretfüggő kontakt termikus ellenállás használatára $R(L)$ Kocsis [23] javasolta. Ennek megfelelően a nagyobb mintaméret esetében a spektrumbeli nagyfrekvenciás hozzájárulás csökkenthető az

$$R(L) = R_0 \exp\left(-\frac{|L - L_0|}{aL_0}\right) \quad (18)$$

függvény bevezetésével, ahol R_0 a kontakt termikus ellenállás együtthatója, L_0 egy referencia mintaméret és a egy skálaparaméter.



5. Ábra Spektrumok méretfüggő $R(L)$ kontakt termikus ellenállás és különböző mintaméretek esetén: 100 nm [kék], 400 nm [fekete] és 800 nm [sárga]

A 6. ábrán egyértelműen látható, hogy a méretfüggő kontakt termikus ellenállás miként módosítja a spektrumot abba az irányba, hogy nagyobb mintaméret esetén a kiterjedt testekre jellemző (határfeltételek nélküli) spektrumhoz tartson. Így a korrelációs függvény a 3. Ábrához hasonlatossá válik, azaz a ballisztikus terjedés egyre inkább a háttérbe szorul és a diffúz transzport lesz a domináns. Ez megfelel a rendszeren belüli dinamikaváltásnak.

4 Összefoglalás

Rámutatunk a spektrum és a korrelációs függvény analízisével, hogy a méret, de különösen a falhatás következtében a termikus energia terjedési mechanizmusában megjelenik egy dinamikai fázisátalakulás, azaz a diffúzív terjedési jelleg átcsap ballisztikus (hullámszerű) terjedési jellegbe.

A hőmérséklet minden transzport jellegű fizikai folyamatban így vagy úgy megjelenik, ezért nanoméretekből is kiemelten fontos a termikus energia terjedés valamint hatásának vizsgálata.

References

- [1] J. Wang, J.-S. Wang: Appl. Phys. Lett. **88** (2006) 111909
- [2] D. G. Cahill, W. K. Ford, K. E. Goodson, G. D. Mahan, A. Majumdar, H. J. Maris, R. Merlin, S. R. Phillpot: J. Appl. Phys. **93** (2003) 793
- [3] E. Brown, L. Hao, J. C. Gallop, J. C. Macfarlane: Appl. Phys. Lett. **87** 023107 (2005)
- [4] G. Chen: Phys. Rev. Lett. **86** (2001) 2297
- [5] A. S. Henry, G. Chen: J. Comput. Theor. Nanosci. **5** (2008) 1
- [6] G. Chen: “*Nanoscale Energy Transport and Conversion*”, Oxford Univ. Press, 2005
- [7] G. D. Mahan, F. Claro: Phys. Rev. B **38** (1988) 1963

- [8] F. X. Alvarez, D. Jou, A. Sellitto: J. Appl. Phys. **105** (2009) 014317
- [9] D. Jou, A. Sellitto, F. X. Alvarez: Proc. R. Soc A **467** (2011) 2520
- [10] D. D. Joseph, L. Preziosi: Rev. Mod. Phys. **61** (1989) 41
- [11] G. Lebon, M. Grmela, C. Dubois: C. R. Mechanique **339** (2011) 324
- [12] G. Lebon, H. Machrafi, M. Grmela, Ch. Dubois: Proc. R. Soc. A **467** (2011) 3241
- [13] D. Y. Tzou: Int. J. Heat Mass Transfer **38** (1995) 3231
- [14] D. Y. Tzou, “*Macro- to microscale heat transfer: the lagging behavior*”, Taylor and Francis, Washington, 1997
- [15] D. Y. Tzou, Z.-Y. Guo: Int. J. Thermal Sci. **49** (2010) 1133
- [16] C. D. R. Anderson, K. K. Tamma: Phys. Rev. Lett. **96** (2006) 184301
- [17] W. Liu, M. Asheghi: Appl. Phys. Lett. **84** (2004) 3819
- [18] Y. S. Ju, K. E. Goodson: Appl. Phys. Lett. **74** (1999) 3005
- [19] F. X. Alvarez, D. Jou: Appl. Phys. Lett. **90** (2007) 083109
- [20] F. X. Alvarez, D. Jou: J. Heat Transfer **132** (2010) 012404
- [21] Z. Chen, W. Jang, W. Bao, C. N. Lau, C. Dames, Appl. Phys. Lett. **95** (2009) 161910
- [22] A. J. McKane, F. Vázquez, Phys. Rev. E **64** (2001) 046116
- [23] F. Márkus, K. Gambár: Intl. J. Heat and Mass Transfer **56** (2013) 495
- [24] Gy. Kocsis, F. Márkus: “*Dynamical phase transitions on nanoscale*” (Therminic Proceedings IEEE/Therminic2016 22nd International Workshop on Thermal Investigations of ICs and Systems, ISBN 978-1-5090-5450-3; ISBN 978-1-5090-5451-0), Budapest, 2016, pp. 283-286